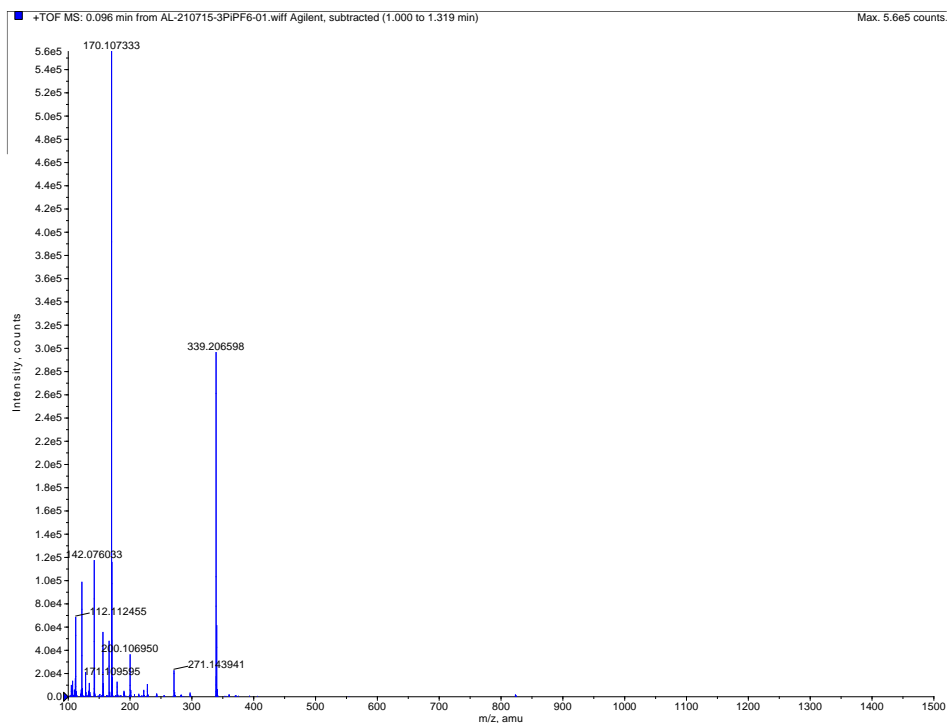


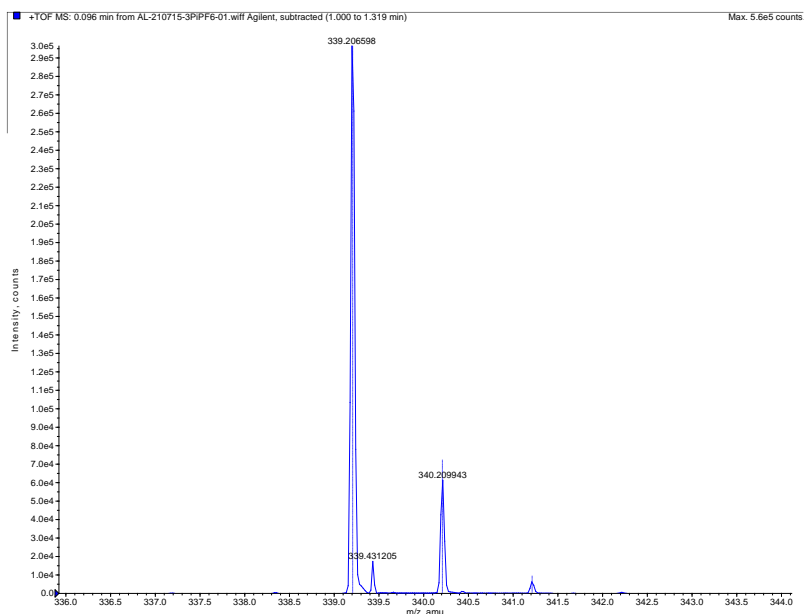
## Anexo de masas

### Ejes

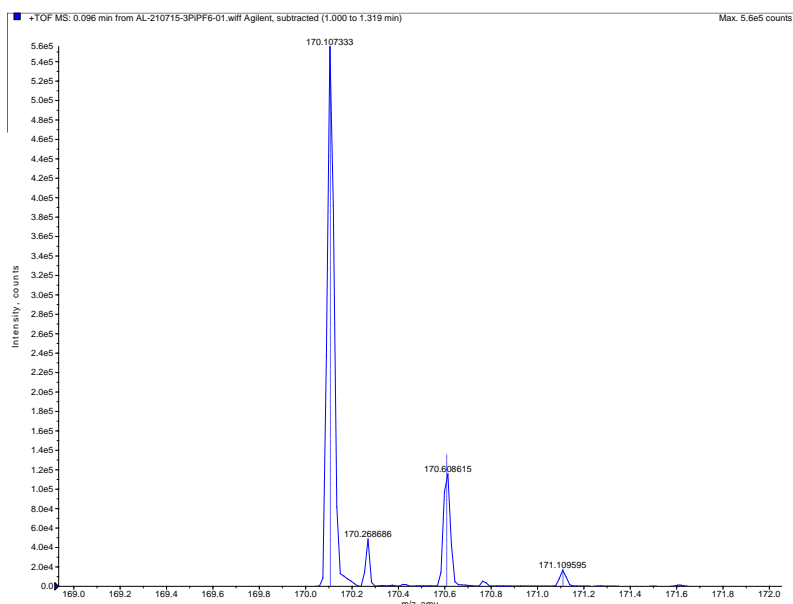
#### Eje [Pi-H]



#### Espectrometría 1. Espectro de masas de alta resolución del eje [Pi]

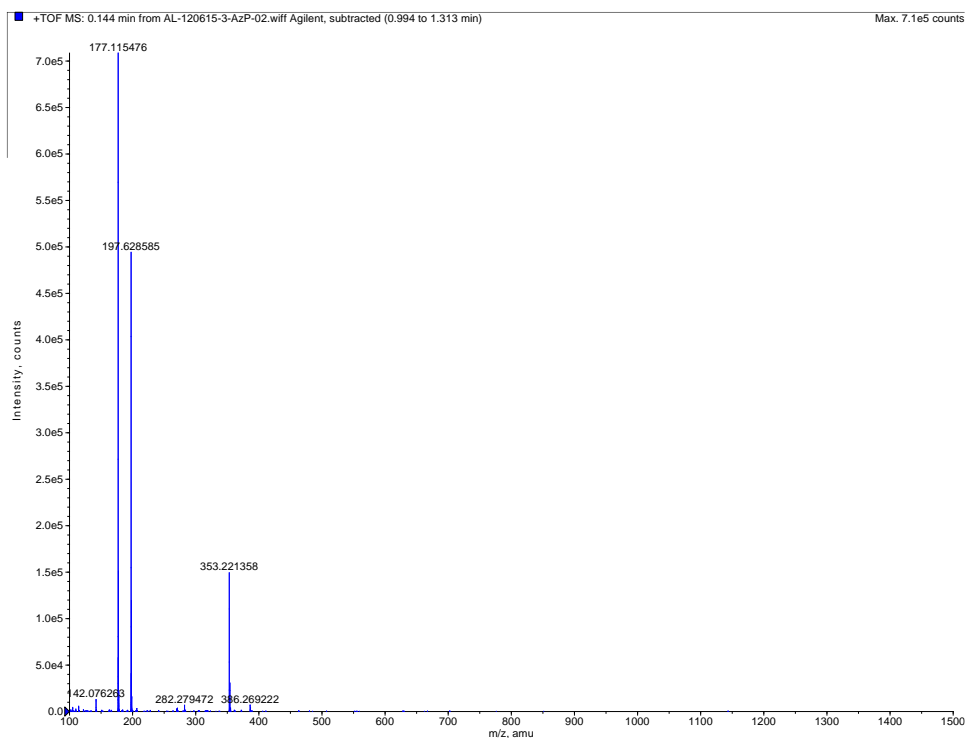


Espectrometría 2. Ampliación de espectro de masas de alta resolución de la muestra [Pi]<sup>+</sup>; [C<sub>21</sub>H<sub>27</sub>N<sub>2</sub>O<sub>2</sub>]<sup>+</sup> m/z observado = 339.2066 uma; m/z calculado = 339.2067 uma; error = -0.3148 ppm

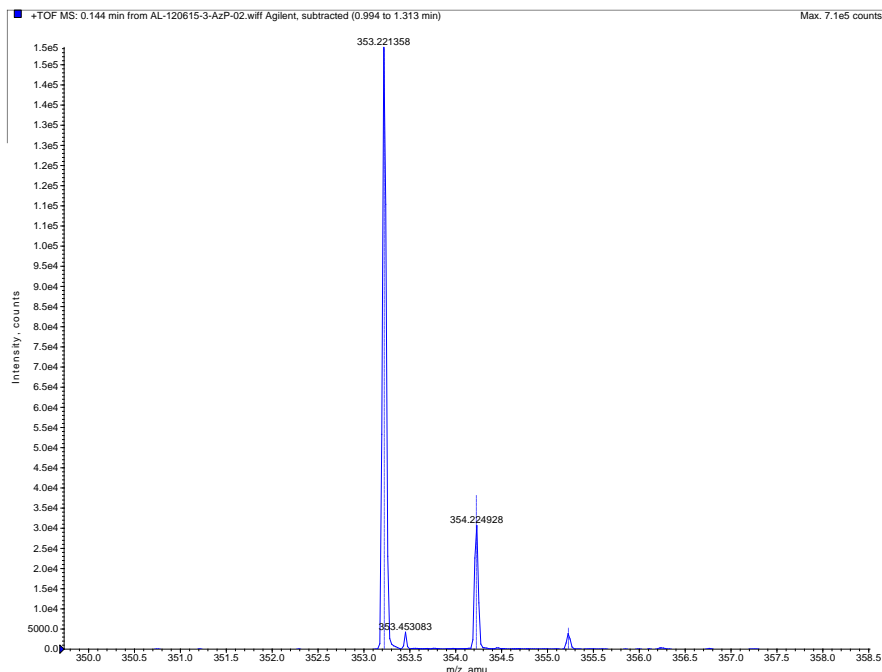


*Espectrometría 3. Ampliación de espectro de masas de alta resolución de la muestra  $[Pi]^{2+}$ ;  $[C_{21}H_{27}N_2O_2]^{2+}$   $m/z$  observado = 170.1073 uma;  $m/z$  calculado = 170.1069 uma; error = 2.0126 ppm*

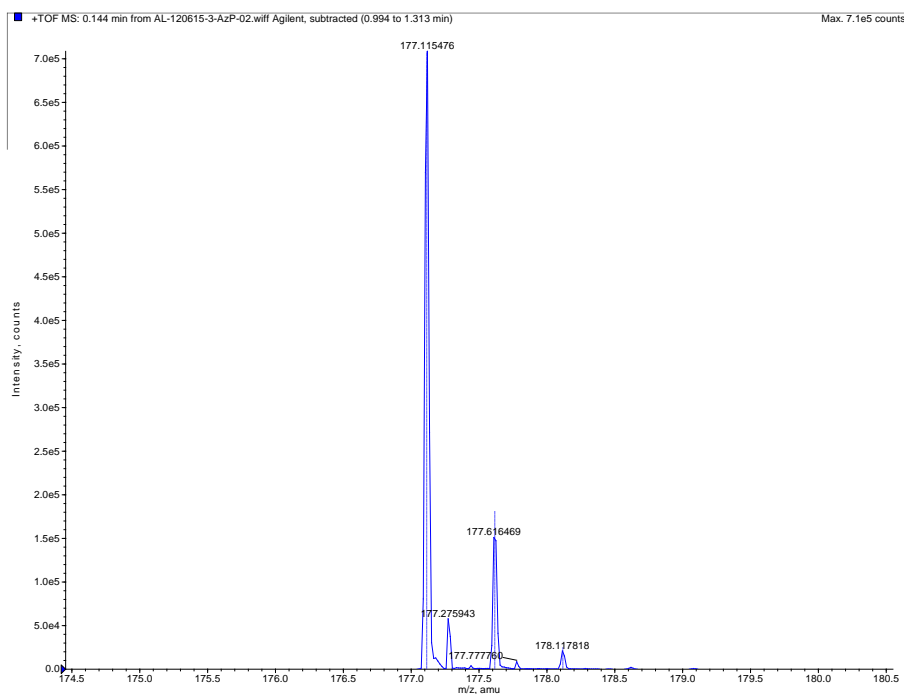
### Eje [Aze-H]



*Espectrometría 4. Espectro de masas de alta resolución del eje[Aze]*

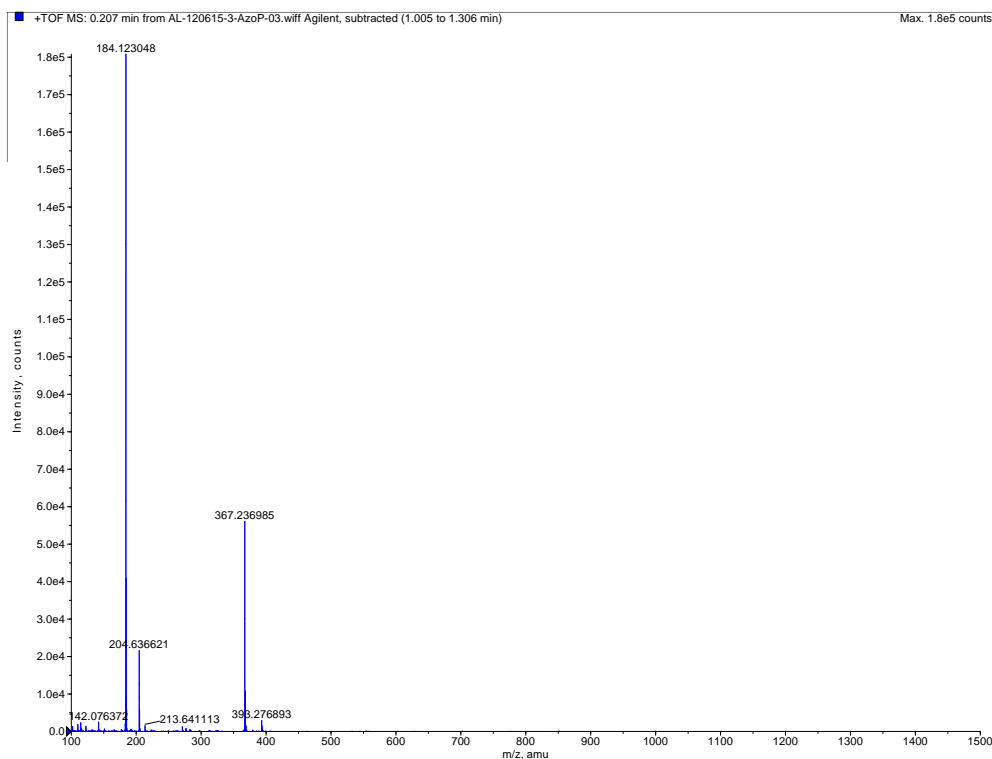


*Espectrometría 5. Ampliación de espectro de masas de alta resolución de la muestra  $[Aze]^+$ ;  $[C_{22}H_{29}N_2O_2]^+$  m/z observado = 353.2214 uma; m/z calculado = 353.2223 uma; error = -2.8222 ppm*

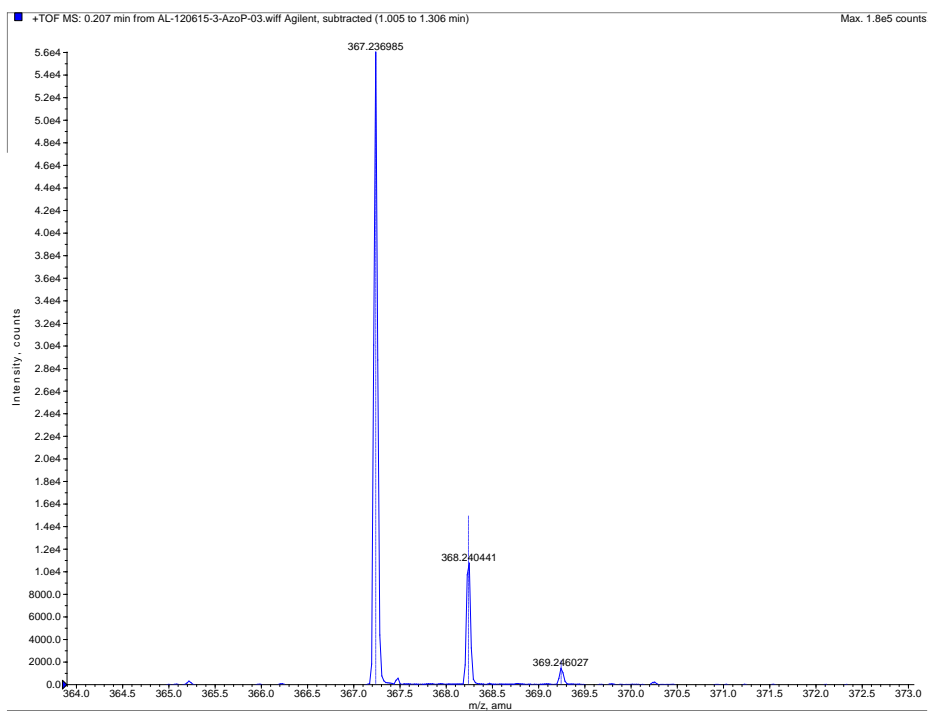


*Espectrometría 6. Ampliación de espectro de masas de alta resolución de la muestra  $[Aze]^{2+}$ ;  $[C_{22}H_{29}N_2O_2]^{2+}$  m/z observado = 177.2115 uma; m/z calculado = 177.1148 uma; error = -3.7282 ppm*

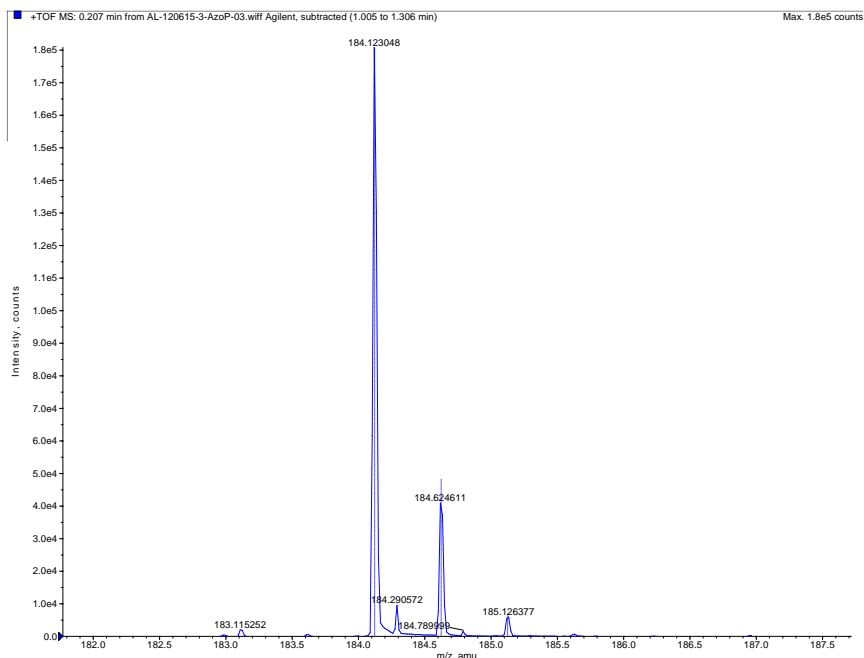
## Eje [Azo-H]



## Espectrometría 7. Espectro de masas de alta resolución del eje[Azo]



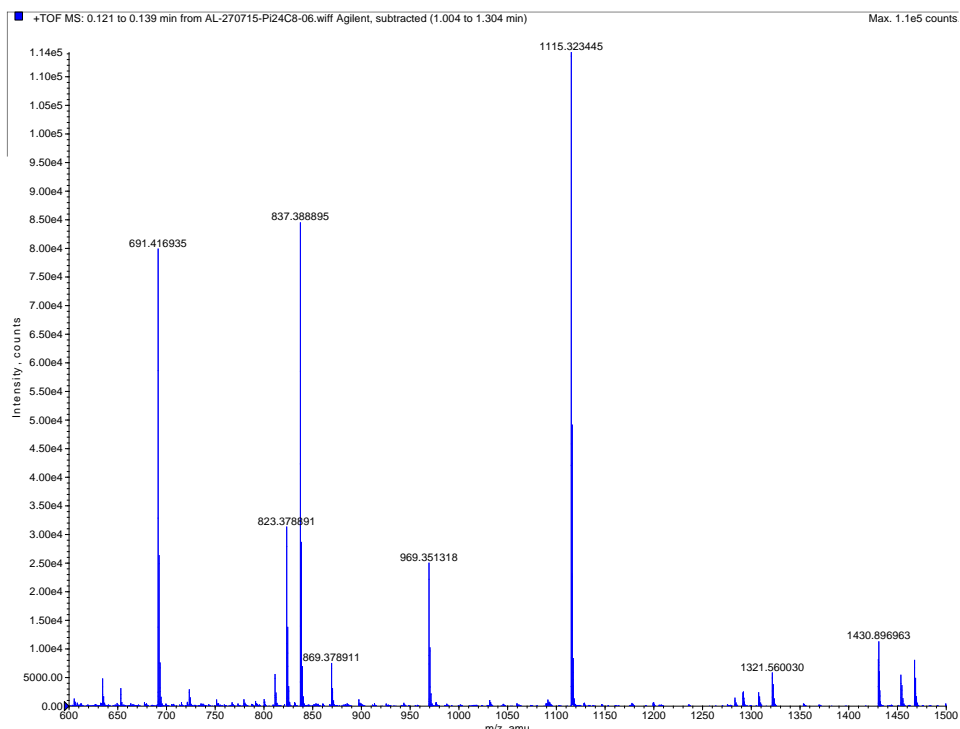
Espectrometría 8. Ampliación de espectro de masas de alta resolución de la muestra  $[Azo]^+$ ;  $[C_{23}H_{31}N_2O_2]^+$  m/z observado = 367.2370 uma; m/z calculado = 367.2380 uma; error = -2.7773 ppm



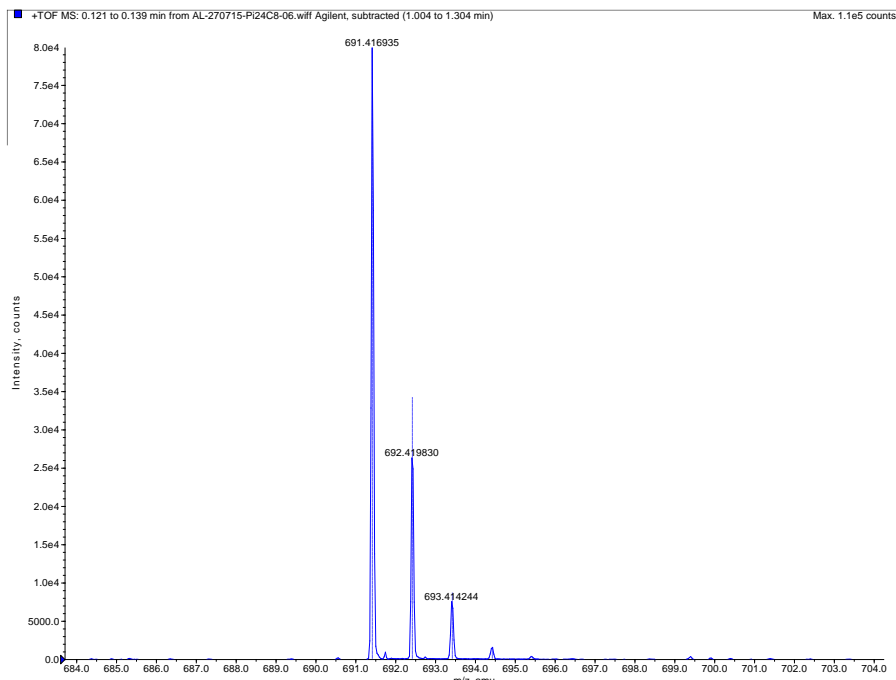
*Espectrometría 9. Ampliación de espectro de masas de alta resolución de la muestra  $[Azo]^{2+}; [C_{23}H_{31}N_2O_2]^{2+}$  m/z observado = 184.1230 uma; m/z calculado = 184.1226 uma; error = 2.2120 ppm*

## Pseudorrotaxanos

$[Pi-HC_{24}C_8]^{2+}$



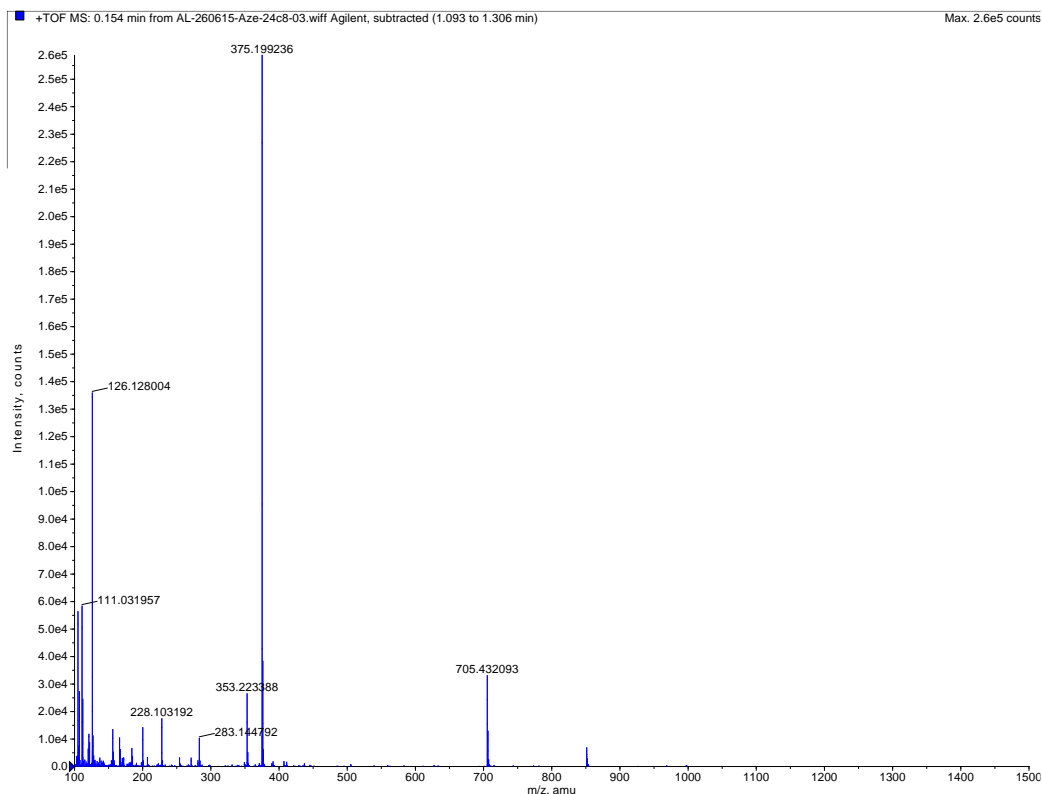
*Espectrometría 10. Espectro de masas de alta resolución del complejo  $[3-Pi-HC_{24}C_8]^{2+}$*



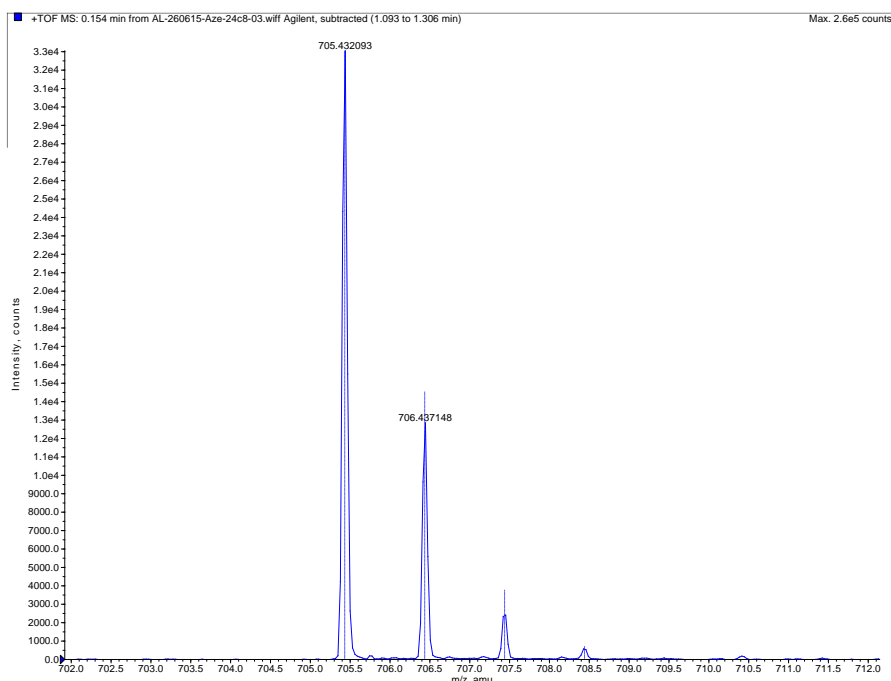
*Spectrometría 11. Ampliación de espectro de masas de alta resolución de la muestra [3-Pi-HC<sub>24</sub>C<sub>8</sub>]<sup>+</sup>; [C<sub>37</sub>H<sub>59</sub>N<sub>2</sub>O<sub>10</sub>]<sup>+</sup>*

*m/z observado = 691.4169 uma; m/z calculado = 691.4164 uma; error = 0.5118 ppm*

**[Aze-HC<sub>24</sub>C<sub>8</sub>]<sup>2+</sup>**



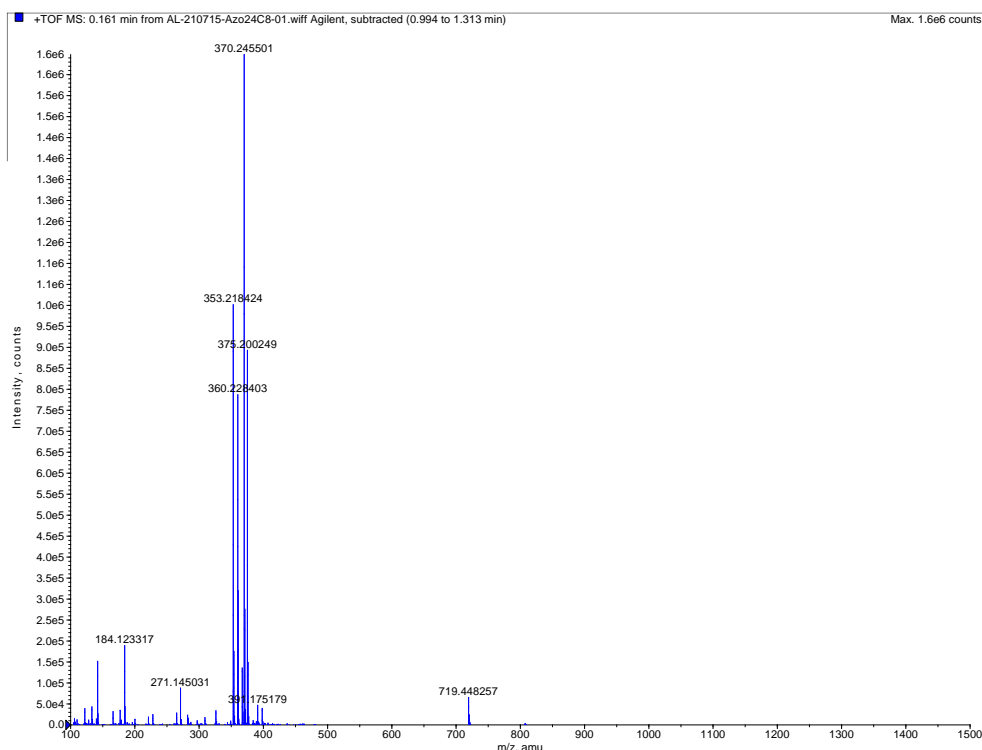
*Spectrometría 12. Espectro de masas de alta resolución del complejo [3-Aze-HC<sub>24</sub>C<sub>8</sub>]<sup>2+</sup>*



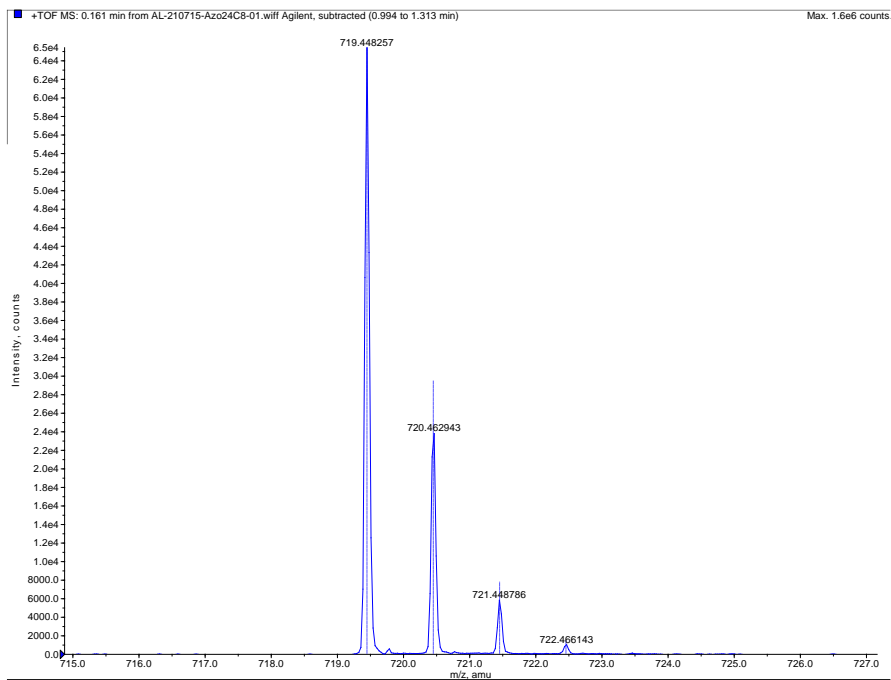
*Espectrometría 13. Ampliación de espectro de masas de alta resolución de la muestra [3-Aze-HC<sub>24</sub>C<sub>8</sub>]<sup>+</sup>; [C<sub>38</sub>H<sub>61</sub>N<sub>2</sub>O<sub>10</sub>]<sup>+</sup>*

*m/z observado = 705.4321 uma; m/z calculado = 705.4320 uma; error = 0.0279 ppm*

[Azo-HC<sub>24</sub>C<sub>8</sub>]<sup>2+</sup>



*Espectrometría 14. Espectro de masas de alta resolución del complejo [3-Azo-HC<sub>24</sub>C<sub>8</sub>]<sup>2+</sup>*



Espectrometría 15. Ampliación de espectro de masas de alta resolución de la muestra [3-Azo-H<sub>2</sub>C<sub>24</sub>C<sub>8</sub>]<sup>+</sup>; [C<sub>39</sub>H<sub>63</sub>N<sub>2</sub>O<sub>10</sub>]<sup>+</sup>

m/z observado = 719.4483 uma; m/z calculado = 719.4477 uma; error = 0.7417 ppm